

Study of the electronic and optical properties of graphene-like ZnSe structure considering many body effects

Masoud Javan*

Department of Physics, Faculty of Sciences, Golestan University, Gorgan, Iran

Received: 29.10.2023 Final revised: 04.03.2024 Accepted: 20.05.2024

Doi: [10.22055/jrmbms.2024.19407](https://doi.org/10.22055/jrmbms.2024.19407)

Abstract

Electronic and optical properties of graphene-like ZnSe were investigated through a comprehensive study using ab initio calculations. By employing the GW method, we accurately determine the electronic band structure and bandgap of graphene-like ZnSe, considering the many-body effects. Additionally, we examine the optical properties of graphene-like ZnSe using the GW+BSE method, calculate the optical absorption spectrum, and determine excitonic properties such as exciton binding energy and optical bandgap. The GW calculations reveal that the ZnSe bandgap is direct with an energy gap of approximately 4.869 eV and exhibits excitons with relatively strong binding energies ranging from 0.2 to 0.8 eV. The majority of bound exciton distributions arise from transitions between $Zn(3p)+Zn(3d)+Se(4p) \rightarrow Zn(4s)+Se(4s)$ at the gamma point of the Brillouin zone. The precise determination of the band structure, bandgap, and excitonic properties enables a better understanding of the material's behavior and aids in the design and optimization of future ZnSe graphene-based devices.

Keywords: ZnSe, DFT, GW, BSE, many body effects, optical properties

* Corresponding Author: javan.masood@gmail.com

بررسی خصوصیات الکترونی و نوری ساختار ZnSe شبه‌گرافن با در نظر گرفتن اثرات بس‌ذره‌ای

مسعود جوان*

گروه فیزیک، دانشکده علوم پایه، دانشگاه گلستان، گرگان، ایران

دریافت: ۱۴۰۲/۱۱/۲۳ ویرایش نهایی: ۱۴۰۳/۰۱/۲۹ پذیرش: ۱۴۰۳/۰۲/۳۱

Doi: [10.22055/jrmb.2024.19407](https://doi.org/10.22055/jrmb.2024.19407)

چکیده

خواص الکترونی و نوری ZnSe شبه‌گرافن از طریق یک مطالعه جامع با استفاده از محاسبات بس‌ذره‌ای مورد بررسی قرار گرفت. با استفاده از روش GW، ساختار نوار الکترونی و پهنای نواری ZnSe شبه‌گرافن با در نظر گرفتن اثرات بس‌ذره‌ای تعیین گردید. علاوه بر این، خواص نوری ZnSe شبه‌گرافن با استفاده از روش GW+BSE بررسی شد و طیف جذب نوری و خصوصیات برانگیختگی مانند انرژی بستگی اکسیتون‌ها و پهنای نواری نوری تعیین شد. محاسبات نشان می‌دهد که ساختار نوار ZnSe شبه‌گرافن، مستقیم و در حدود ۴٫۸۶۹ الکترون‌ولت است و دارای اکسیتون‌هایی با بستگی نسبتاً قوی بین ۰٫۲ تا ۰٫۸ الکترون‌ولت می‌باشد. عمده توزیع اکسیتون‌های مقید ناشی از گزارهای $Zn(3p)+Zn(3d)+Se(4p) \rightarrow Zn(4s)+Se(4s)$ در نقطه گاما منطقه بریلوئن قرار دارد. تعیین دقیق ساختار نواری، پهنای نوار و خواص برانگیختگی درک بهتر رفتار مواد و کمک به طراحی و بهینه‌سازی دستگاه‌های مبتنی بر ZnSe شبه‌گرافن را ممکن می‌سازد.

کلیدواژگان: اثرات بس‌ذره‌ای، خصوصیات نوری، ساختار نواری، شبه‌گرافن ZnSe

مقدمه

با این تفاوت که اتم‌هایی با پیوندهای کمانشی به‌جای صفحه مسطح ایجاد می‌کنند. سان و همکاران^۱ موفق به تولید تک‌لایه‌های ZnSe شدند به طوری که پهنای انرژی در حدود ۳٫۵ الکترون‌ولت را برای آن گزارش کردند [۱۰]. همچنین شارما^۲ و همکاران موفق به تولید لایه نازکی از ZnSe روی بستری از شیشه شدند و برای آن پهنای نواری وابسته به دمای نمونه و در حدود ۲٫۷۵ تا ۳ الکترون‌ولت را گزارش کردند [۱۱]. اخیراً نیز

بلور سلنید روی (ZnSe) در شکل‌های مکعبی و شش‌گوشی متبلور می‌شود و نانو ساختارهای متنوعی از آن گزارش شده است [۴-۱]. پهنای نواری در نیم‌رساناهای II-VI به صورت مستقیم و بین ۲٫۳ تا ۲٫۸ الکترون‌ولت گزارش شده است [۹-۵]. نیم‌رساناهای II-VI مانند ZnSe در حالت دوبعدی یک شبکه لانه زنبوری شش ضلعی شبیه به گرافن را تشکیل می‌دهند

* نویسنده مسئول: javan.masood@gmail.com

¹ Sun

² Sharma



فهم و پیش‌بینی و همچنین تنظیم خصوصیات مواد است. به‌طور خاص اکسیتون‌ها که برانگیختگی‌های جمعی کم انرژی شامل جفت‌های الکترون-حفره هستند، از اهمیت بالایی در تبیین جذب نور در فرایندهای فوتوولتایی و فوتوکاتالستی برخوردار هستند. نظریه اختلال بس‌ذره‌ای (MBPT) به‌ویژه روش GW به‌همراه معادله‌ی بته-سالپتر (BSE) یک چارچوب نظری مناسب برای دسترسی به‌خواص پایه و همچنین حالت برانگیخته مواد به‌خصوص اکسیتون‌ها فراهم می‌سازد [۲۱-۱۵]. بنابراین با انگیزه اینکه ترکیبات ZnSe دوبعدی می‌توانند در ابزارهای نوری و الکترونیکی مورد استفاده قرار گیرند مطالعه‌ی نظری با در نظر گرفتن اثرات بس‌ذره‌ای مبتنی بر تقریب GW و BSE روی حالت‌های شبه‌ذره و طیف نوری انجام شد.

روش انجام محاسبات

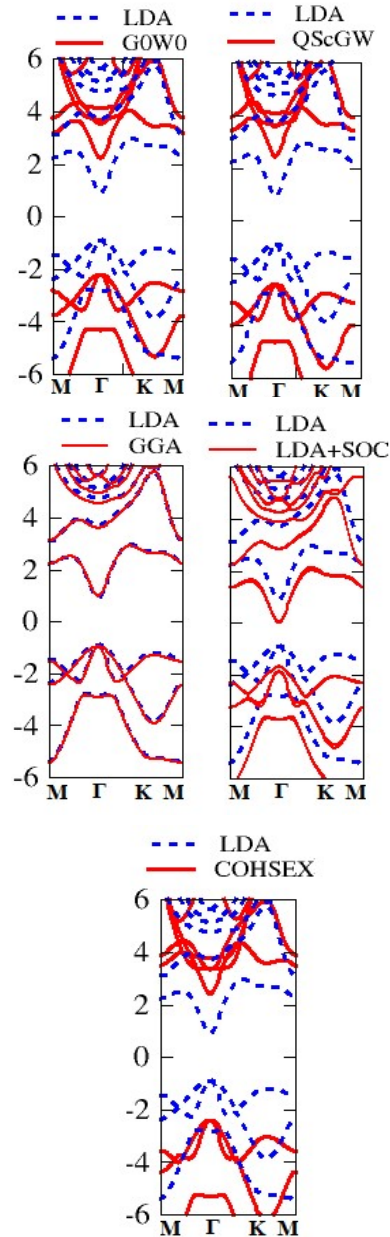
محاسبات حالت پایه ساختار تک‌لایه ZnSe در چارچوب نظریه DFT و تقریب‌های LDA و GGA و با استفاده از کد exciting و با استفاده از روش FP-LAPW+lo صورت پذیرفت [۲۲]. ساختار دوبعدی با در نظر گرفتن یک یاخته با خلأ ۱۵ آنگستروم در امتداد عمود بر صفحه تک‌لایه ZnSe و $R_{mt}K_{max}$ بهینه ۸ جهت توصیف چگالی بار در فضای وارون مورد استفاده قرار گرفت. براساس توابع موج حالت پایه کوهن-شم و ویژه‌مقادیر محاسبه شده E^{KS} ، اثرات بس‌ذره‌ای روی ساختار نواری شبه‌ذرات را می‌توان با

نانوصفحات ZnSe با ساختار بلوری ورتسایت توسط پارک^۱ و همکاران تولید و خصوصیات نوری آن گزارش شده است [۱۲]. آنها دریافتند که به‌دلیل محدودیت کوآتومی ناشی از نازکی فوق‌العاده صفحات ZnSe، قله جذب به‌طور قابل توجهی در مقایسه با حالت توده‌ای دارای یک انتقال آبی است که ناشی از افزایش شکاف انرژی نانوصفحات تولید شده است. نتایج طیف‌سنجی جذبی نشان می‌دهد که طیف جذب نانوصفحات ZnSe دارای قله‌هایی در محدوده ۳۲۹ (۳۷۷ الکترون‌ولت) و ۳۴۷ (۳۵۷ الکترون‌ولت) است که نسبت به طیف جذب حالت توده‌ای (۲/۸ الکترون‌ولت) ۴۴۲ نانومتر متحمل یک انتقال آبی شده است. لی^۲ و همکاران با استفاده از نظریه تابعی چگالی (DFT) خصوصیات تک‌لایه ZnSe را مورد مطالعه قرار دادند [۱۳]. آنها دریافتند که تک‌لایه ZnSe دارای پهنای نواری مستقیم است و پهنای نواری (۲/۴ تا ۳/۷) الکترون‌ولت، تحت کرنش تا ۷٪ افزایش می‌یابد. در کار دیگری جلیلیان و همکاران تک‌لایه ZnSe را با استفاده از روش FP-LAPW+lo مورد بررسی قرار دادند [۱۴]. عموماً مطالعات نظری قبلی روی خواص الکترونی و نوری تک‌لایه ZnSe براساس تقریب ذره مستقل مبتنی بر DFT انجام شده است. با این حال برهم‌کنش‌های بس‌ذره‌ای نقش مهمی در سامانه‌های کم‌بعد بازی می‌کنند زیرا استتار بار کاهش و همبستگی الکترون-الکترون افزایش می‌یابد. مطالعه برانگیختگی‌های بنیادی یکی از روش‌های مؤثر برای

² Li

¹ Park

نوری ساختار شبه‌گرافن ZnSe پردازیم درباره خصوصیات الکترونی آن بحث می‌کنیم.



شکل ۱. ساختار نواری به‌دست آمده ZnSe شبه‌گرافن در تقریب‌های مختلف.

تعیین خودانرژی (Σ) و با حل معادله دایسون ارزیابی کرد [۲۳ و ۲۴]:

$$[H_0 + \Sigma(E_{nk}^{OP})] |nK\rangle = E_{nk}^{OP} |nK\rangle$$

که در اینجا H_0 هامیلتونی در تقریب هارتری، $|nk\rangle$ بیان‌کننده حالت‌های شبه‌ذره و E_{nk}^{OP} ویژه‌حالت انرژی در روش تابع گرین تک-ذره (G0) است. در تقریب G0W0 پتانسیل کولن استتار شده W_0 را می‌توان با استفاده از پتانسیل کولنی خالص U و با استفاده از رابطه $W_0 = U/[1 - U P_0]$ به‌دست آورد که در آن $P_0 = -iG_0G_0$ قطبش‌پذیری است. در نهایت خودانرژی شبه‌ذرات با عملگر $\Sigma = iG_0W_0$ تعیین می‌شود. برای محاسبه ماتریس دی‌الکتریک $\epsilon_{G,G'}^{-1}(q)$ و خودانرژی Σ شبکه‌بندی فضای وارون به‌صورت $12 \times 12 \times 12$ انجام شد و تعداد حالت‌های خالی در نظر گرفته شده با این اطمینان که انرژی شبه‌ذرات به‌دست آمده با دقت ۰/۱ الکترون‌ولت همگرا می‌شوند به تعداد ۶۸ حالت تعیین گردید. برای بررسی برانگیختگی‌های ناشی از برهم‌کنش الکترون و حفره در طیف نوری از روش‌های مبتنی بر محاسبات GW مانند G0W0، QScGW و COHSEX استفاده می‌شود.

نتیجه‌گیری و بحث

ساختار دوبعدی ZnSe یک ساختار غیرصفحه‌ای شش‌گوشی است که ثابت‌های شبکه آن ۳٫۹۹ آنگستروم در تقریب LDA و ۴٫۲۳ آنگستروم در تقریب GGA به‌دست آمد که با مقادیر محاسبه شده قبلی در توافق است [۲۵ و ۲۶]. قبل از اینکه به بررسی خصوصیات

جدول ۱. خصوصیات پهنای نواری محاسبات شبه ذره ساختار ZnSe شبه گرافن با استفاده از روش های مختلف. واحد بر حسب الکترون ولت.

	LDA	GG A	LDA +SO C	G0W 0	QSc GW	COH SEX
Eg	۱,۷۲۸	۱,۸۹۱	۱,۶۹۳	۴,۴۳۲	۴,۸۶۹	۴,۷۵۰
M→M	۳,۵۶۰	۳,۷۸۰	۳,۶۰۳	۶,۰۵۳	۶,۵۴۰	۷,۰۸۰
Γ→Γ	۱,۷۲۸	۱,۸۹۱	۱,۶۹۳	۴,۴۳۲	۴,۸۶۴	۴,۷۵۲
K→K	۴,۰۵۳	۳,۶۷۵	۳,۸۹۱	۵,۸۸۰	۴,۴۳۱	۶,۶۹۹

پتانسیل تبادل-همبستگی، که از چگالی الکترون مشتق شده است، محاسبه می کند. این تقریب اثرات بس ذره ای و برهم کنش های الکترون-الکترون را تا حدودی نادیده می گیرد. از سوی دیگر، تقریب GW برهم کنش های الکترون-الکترون را به صراحت از طریق محاسبه خودانرژی در نظر می گیرد. خودانرژی اثرات برهم کنش های الکترون-الکترون و استتار الکترون را روی انرژی های تک ذره ای توصیف می کند. با گنجاندن این اثرات بس ذره ای، تقریب GW در مقایسه با DFT، توصیف دقیق تری از ویژگی های الکترونی، مانند شکاف نواری، انرژی های شبه ذره ای و انرژی های برانگیختگی ارائه می کند. به کارگیری روش تک مرحله ای GW یا G0W0 به عنوان یک تصحیح شبه ذره به همراه روش LDA جهت تصحیح ساختار نواری به طور گسترده استفاده می شود و نشان داده شده است که عملکرد دقیقی برای توصیف پهنای نواری برای برخی از نیمه هادی های معمولی دارد اما به طور کلی می تواند برای برخی سامانه ها شامل عناصر واسطه سبک، دارای خطای قابل توجهی باشد. برخی شیوه های تقریب GW می تواند G0W0 را ارتقا دهد، مانند روش GW0 که روش خودسازگار را روی تابع گرین اعمال می کند. روش GW0 با تثبیت خصوصیات ناشی از استتار در تقریب فاز تصادفی RPA، نتایج مناسبی را در توافق با تجربه به دست می دهد. در تقریب GW0، خودانرژی یک کمیت کلیدی است که برای محاسبه اثرات بس ذره ای و برهم کنش های الکترون-الکترون در محاسبات ساختار الکترونی استفاده می شود. روش COHSEX نوعی از تقریب GW است که هدف آن بهبود دقت محاسبات خودانرژی است [۲۷].

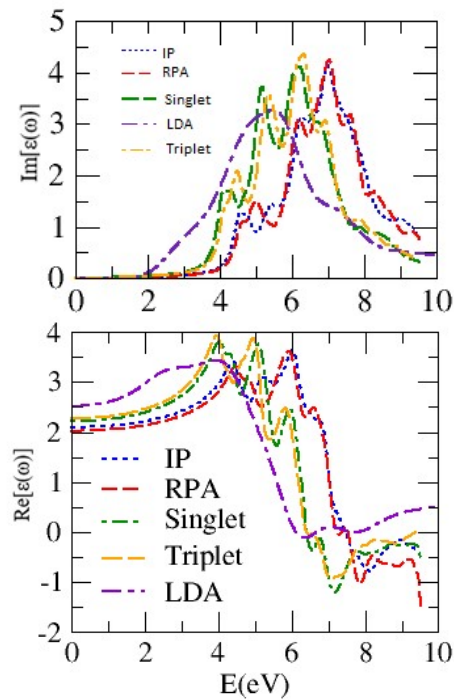
در شکل ۱ ساختار نواری ZnSe محاسبه شده بر اساس تابعی LDA، GGA و G0W0 و همچنین QScGW نشان داده شده است. خواص نوری یک جامد از تعامل بین نور و تحریکات الکترونی آن سامانه توسط خصوصیات وابسته به فرکانس تابع دی الکتریک ماکروسکوپی ϵ به دست می آید. مطابق با قاعده طلایی فرمی، برانگیختگی انرژی مرتبط با یک قله در طیف جذب نوری بر اساس تفاوت انرژی بین حالت های الکترون و حفره به دست می آید. شدت برانگیختگی مرتبط از محاسبه عناصر ماتریس برانگیختگی نوری مشتق شده از حالت های پایه و برانگیخته به دست آید.

از آنجا که فوتون های فرودی دارای تکانه ناچیز هستند قله های طیف جذب نوری را می توان به عنوان انتقال مستقیم بین نواری بین حالت های الکترونی اشغال شده و اشغال نشده بدون هیچگونه انتقال تکانه بلوری در نظر گرفت. بنابراین اگر برهم کنش الکترون-حفره در نظر گرفته نشود هر دو طیف نوری خطی و غیرخطی را می توان در یک تقریب ذره مستقل با گنجاندن تنها انتقال بین نواری عمودی بر مبنای حالت های کوهن-شم محاسبه کرد [۲۲].

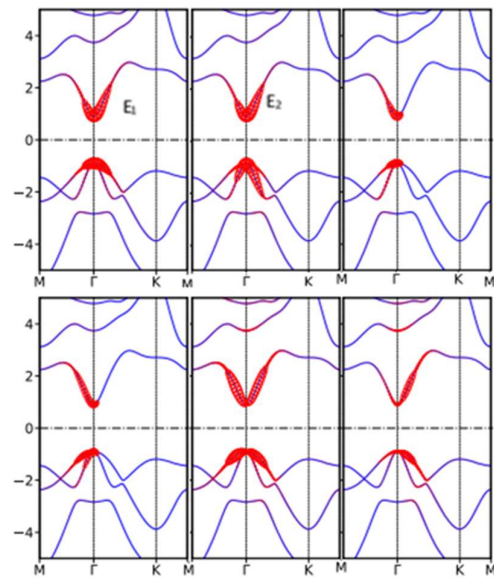
تقریب ذرات مستقل (IPA) در DFT برهم کنش های الکترون-الکترون را از طریق یک پتانسیل مؤثر، به نام

روش COHSEX سهم تبادل استتار شده به خود انرژی را در نظر می‌گیرد و در واقع تضمین می‌کند که برخی از قوانین بقای اساسی، مانند تعداد ذرات و بقای انرژی، در محاسبات رعایت می‌شوند. با ترکیب این جنبه‌ها، روش COHSEX به‌طور کلی توصیف دقیق‌تری از خواص الکترونیکی، پهنای نواری و انرژی‌های برانگیختگی در مقایسه با تقریب‌های ساده‌تر ارائه می‌دهد.

نیز تکنیک محاسباتی پیشرفته‌ای است به‌طوری‌که اصول تئوری تابعی چگالی (DFT) و تئوری اختلال بس‌ذره‌ای (MBPT) را ترکیب می‌کند. هدف آن بهبود دقت محاسبات استاندارد DFT با گنجاندن اثرات برهم‌کنش الکترون-الکترون فراتر از سطح DFT است. در رویکرد QScGW، مرحله اولیه شامل انجام محاسبه DFT برای به‌دست آوردن ساختار الکترونی مواد است. محاسبه DFT توصیف تقریبی از حالت‌ها و انرژی‌های الکترونی را ارائه می‌دهد. با این حال، پهنای نواری مبتنی بر DFT اغلب به دلیل محدودیت‌های ذاتی عملکردهای تبادل-همبستگی همراه با خطا است. روش QScGW یک محاسبه GW خودسازگار را اعمال می‌کند، که در آن برهم‌کنش‌های الکترون-الکترون با دقت بیشتری بررسی می‌شوند. به این معنی که خود انرژی به‌طور مکرر به روز می‌شود تا زمانی که یک معیار همگرایی برآورده شود. این خودسازگاری تضمین می‌کند که حالت‌ها و انرژی‌های الکترونی به‌طور مداوم و دقیق تعیین می‌شوند. با ترکیب اصلاحات خود انرژی از محاسبات GW در روش QScGW بر دقت ساختار نواری DFT افزوده می‌شود و تخمین قابل اعتمادتری از پهنای نواری الکترونی را ارائه می‌دهد که برای نیم‌رساناها و عایق‌ها مهم‌تر است.



شکل ۲. قسمت موهومی و حقیقی تابع دی الکتریک.



شکل ۳. توزیع وزنی شش اکسیون با حداقل انرژی (چپ به راست) مبتنی بر A^S_{vck} .

است. در جدول ۱ واضح است که تصحیحات GW ویژه‌مقادیر LDA چشم‌گیر هستند به طوری که مقدار تصحیح در اغلب موارد در حدود ۳ الکترون‌ولت است. در تصحیحات GW پهنای نواری غیر مستقیم هم از $G \rightarrow K$ تغییرات قابل توجهی داشته است. ماهیت پهنای نوار مستقیم در صفحات دوبعدی ZnSe نشان می‌دهد که اکسیتون‌ها در صفحات ZnSe به صورت نوری، فعال هستند. با توجه به ساختار پهنای نواری مستقیم و اختلاف انرژی لبه نواری در نقطه Γ با نقطه K و M می‌توان انتظار داشت که هیچ اکسیتون غیرفعال نوری زیر انرژی اکسیتون‌های فعال در نانوصفحات ZnSe وجود نداشته باشد. شکل ۲ قسمت‌های حقیقی و موهومی تابع دی‌الکتريك مبتنی بر محاسبات GW+RPA و GW+BSE را نمایش می‌دهد. اثرات اکسیتونی در خصوصیات نوری نانوصفحات ZnSe با مقایسه GW+RPA(IP) و GW+BSE به دست می‌آید.

در زمینه محاسبات GW، حالت‌های منفرد و سه‌گانه به حالت‌های اسپین الکترون‌های درگیر در انتقال الکترونی اشاره دارند. حالت منفرد به حالتی اطلاق می‌شود که در آن اسپین‌های دو الکترون برهم‌کنشی در جهت‌های مخالف جفت می‌شوند و در نتیجه اسپین کل صفر می‌شود. در این حالت انرژی برهم‌کنش الکترون و الکترون به حداقل می‌رسد. حالت‌های منفرد اغلب با حالت‌های پایه یا حالت‌های برانگیخته کم‌انرژی همراه هستند. از سوی دیگر، حالت سه‌گانه به حالتی اطلاق می‌شود که در آن اسپین‌های دو الکترون برهم‌کنشی موازی هستند که منجر به اسپین کل یک می‌شود. در این حالت انرژی برهم‌کنش الکترون-الکترون در مقایسه با حالت منفرد بیشتر است. حالت‌های سه‌گانه معمولاً با حالت‌های برانگیخته با انرژی بالاتر همراه

برای سامانه‌های با اثرات برانگیختگی قوی ویژگی‌های نوری ممکن است تحت سلطه اکسیتون‌هایی باشد که از جفت‌های الکترون حفره قوی همبسته تشکیل شده‌اند. در یک چنین سامانه انرژی اتصال اکسیتون‌ها Ω و دامنه الکترون-حفره معادل A_{vck}^S و تحریکات الکترون-حفره با استفاده از معادله بت-سالپیتز کنترل می‌شود [۲۸].

$$(E_{ck} - E_{vk}) A_{vck}^S + \sum_{v'c'k'} \langle vck | k^{eh} | v'c'k' \rangle A_{v'ck'}^S = \Omega^S A_{vck}^S$$

$E_{vk}(E_{ek})$ اشاره به ویژه‌مقادیر شبه‌ذرات از نوارهای ظرفیت (رسانش) در نقاط k و k^{eh} در واقع هسته کرنل توصیف‌کننده برهم‌کنش بین حفره و الکترون برانگیخته است. تابع موج اکسیتون‌ها را در فضای حقیقی می‌توان برحسب توابع موج شبه الکترون-حفره

$$\{Q_{ck}(r_e) \cdot Q_{vk}(r_h)\}$$

به صورت زیر بسط داد:

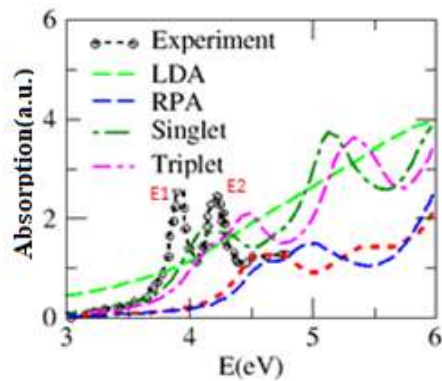
$$Q_S(r_e, r_h) = \sum_k \sum_{cv} A_{vck}^S Q_{ck}(r_e) Q_{vk}(r_h)$$

در مطالعات اخیر که مبتنی بر DFT-LDA است تک‌لایه پایدار ZnSe بررسی شده است [۲۵ و ۲۶] با وجود شباهت‌های ساختاری با گرافن فرمیون‌های دیراک بدون جرم به دلیل تفاوت در خصوصیات یونی اتم‌های Zn و Se در ZnSe شبه‌گرافن وجود ندارد. این ویژگی قطبش اتمی، پهنای انرژی در حدود ۱٫۷۲ الکترون‌ولت ایجاد می‌کند، البته در تقریب LDA و در نقطه Γ از منطقه بریلوئن، به گونه‌ای که در شکل ۱ نشان داده شده است. تصحیح شبه‌ذره ساختار دوبعدی ZnSe با استفاده از تقریب GW توصیف شده در بالا به دست می‌آید. در جدول ۱ تصحیح شبه‌ذره پهنای نواری در نقاط با تقارن بالا منطقه بریلوئن خلاصه شده

در شکل ۱ به خوبی شکاف نواری در لبه نوار ظرفیت ناشی از تفاوت انرژی حفره‌های سبک و سنگین را نشان می‌دهد. با در نظر گرفتن برهم‌کنش اسپین-مدار این شکاف در ساختار نواری و طیف جذب نوری به خوبی مشاهده می‌گردد به طوری که در شکل ۴ با مقادیر تجربی به دست آمده مقایسه شده است. با توجه به شکل نتایج حاصل از محاسبات GW+BSE با نتایج تجربی در توافق است. انرژی بستگی اکسیتون‌ها با استفاده از رابطه

$$E_i^{Bind} = E_i^{\pi-\pi^*(RPA,IP)} - E_i^{\pi-\pi^*(BSE)}$$

به دست می‌آید. انرژی بستگی اکسیتون‌ها که در محدوده ۰/۲۳ تا ۰/۸ الکترون‌ولت است مؤید وجود اکسیتون نسبتاً مقید است. انرژی بستگی اکسیتون‌ها در حالت توده ZnSe در حدود ۲۰ میلی‌الکترون‌ولت است [۲۹]. بنابراین به طور واضح نشان می‌دهد کاهش ابعاد برای ZnSe باعث محدود شدگی کوانتومی شبه‌ذرات می‌شود و به طور قابل توجهی انرژی بستگی اکسیتون‌ها را افزایش می‌دهد.



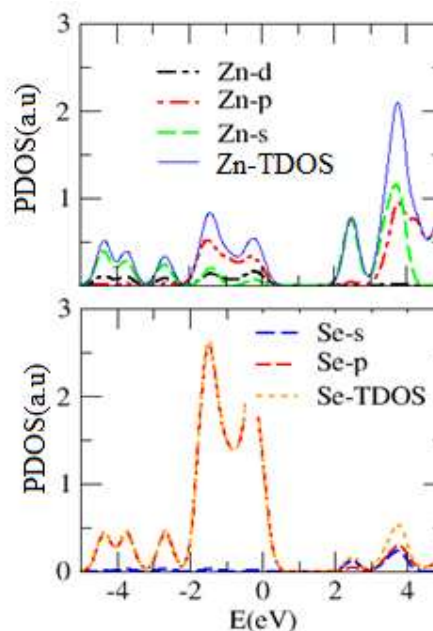
شکل ۴. طیف جذب نوری در تقریب‌های مختلف و مقایسه با نتایج GW+BSE در حالت‌های منفرد و سه گانه با نتایج تجربی [۱۲].

هستند. حالت‌های منفرد و سه‌گانه می‌توانند در اثرات برانگیختگی دخیل باشند، که در آن یک الکترون برانگیخته (در حالت انرژی بالاتر) با حفره باقی‌مانده (که در اثر گذار الکترون ایجاد می‌شود) در ماده تعامل می‌کند. این اثرات برانگیخته برای درک پدیده‌هایی مانند طیف جذبی و خواص نوری بسیار مهم هستند و در تعیین تحریک‌های الکترونیکی و خواص نوری مواد نقش دارند. قله اول در قسمت موهومی تابع دی الکتریک به ترتیب مطابق است با اولین برانگیختگی نوری در ۴/۱۱، ۴/۲۴، ۴/۳۱، ۴/۴۹ الکترون‌ولت در تقریب BSE منفرد و سه گانه، RPA، IP و معادل است با پهنای نوری به دست آمده در تقریب متناظر استفاده شده. اختلاف چشمگیری بین محاسبات GW+BSE و حالت‌های LDA، IP و RPA وجود دارد که هم در قسمت حقیقی و هم در قسمت موهومی تابع دی الکتریک قابل مشاهده است. حالت‌های منفرد تقریباً با حالت‌های سه گانه نتایج مشابهی را به دست می‌دهند. در شکل ۳ توزیع وزنی شش اکسیتون با حداقل انرژی مبتنی بر $|A_{\text{vec}}^S|$ نمایش داده شده است. عمده جذب اکسیتون در مرکز ناحیه بریلوئن، معروف به نقطه گاما است. این جذب عمدتاً به انتقال‌هایی مربوط می‌شود که شامل اوربیتال‌های $Zn(3p)+Zn(3d)+Se(4p) \rightarrow Zn(4s)+Se(4s)$ است. در شکل ۴ طیف جذب محاسبه شده در تقریب‌های مختلف نشان داده شده است. مبتنی بر تقریب GW+BSE اولین قله قابل ملاحظه در ۴/۱ الکترون‌ولت قرار گرفته است و توصیف کننده اکسیتون‌های فعال مبتنی بر برانگیختگی حالت‌های $\pi \rightarrow \pi^*$ نقطه گاما است. این قله از دو قله مجاور به هم تشکیل شده است که در واقع ناشی از دو نوع اکسیتون است که از تفاوت حفره‌های سبک و سنگین نشأت می‌گیرد. محاسبات اسپین-مدار صورت گرفته

پتانسیل کولنی استتار شده را در سطح RPA حفظ می‌کند، پهنای نواری بزرگتری را پیش‌بینی می‌کند. نتایج نشان می‌دهد که ZnSe یک نیم‌رسانای پهنای نواری مستقیم با انرژی بستگی اکسیتون قابل توجهی است. انرژی بستگی اکسیتون‌های محاسبه شده در محدوده ۰٫۲۳ تا ۰٫۸ الکترون‌ولت قرار دارد. علاوه بر این، ما مشخص کردیم که کمترین پهنای نوار و برجسته‌ترین جذب اکسیتون در ناحیه گاما منطقه بریلوئن رخ می‌دهد.

مرجع‌ها

- [1] A.E. Dubinov, D.Y. Kolotov, Ionacoustic supersolitons in plasma, *Plasma Physics Reports* 38 (2012) 909-912. <https://doi.org/10.1134/S1063780X1212003X>
- [2] Y.S. Park, F.L. Chan, Photoconductivity spectral response and lattice parameters of hexagonal ZnSe, *Journal of Applied Physics* 36 (1965) 800. <https://doi.org/10.1063/1.1713898>
- [3] Q. Zhang, H. Li, Y. Ma, T. Zhai, ZnSe nanostructures: synthesis, properties and applications, *Progress in Materials Science*, 83 (2016) 472-535. <https://doi.org/10.1016/j.pmatsci.2016.07.05>
- [4] D. Li, G. Xing, S. Tang, X. Li, L. Fan, Li, Ultrathin ZnSe nanowires: one-pot synthesis via a heat-triggered precursor slow releasing route controllable Mn doping and application in UV and near-visible light detection, *Nanoscale* 9 (2017) 15044-15055. <https://doi.org/10.1039/C7NR04344F>
- [5] M.J. Kim, Y.I. Choi, S.W. Joob, M. Kang, Y. Sohn, Synthesis of Er and Yb-doped cubic and hexagonal phase ZnSe nano-assembled microspheres and their photocatalytic activities, *Ceramics International* 40 (2014) 16051-16059. <https://doi.org/10.1016/j.ceramint.2014.07.055>
- [6] J.L. Rojas-Chávez, R. González-Domínguez, R. Román-Doval, J.M. Juárez-García, N. Daneu, R. Fariás, ZnTe



شکل ۵. نمودار چگالی حالت‌های تصویر شده روی اتم‌های Zn و Se و نمایش چگالی حالت‌های اوربیتالی آنها.

با توجه به نمودار چگالی حالت‌های تصویر شده در شکل ۵ و سهم اوربیتال‌های مختلف اتم‌های Zn و Se در شکل‌گیری لبه شکاف نواری، عمدتاً جذب نوری به انتقال‌هایی نسبت داده می‌شود که شامل اوربیتال‌های $Zn(3p)+Zn(3d)+Se(4p) \rightarrow Zn(4s)+Se(4s)$ است. با در نظر گرفتن برهم‌کنش الکترون-حفره، شکاف نواری محاسبه شده به‌خوبی با اندازه‌گیری‌های تجربی همسو می‌شوند که نشان‌دهنده توافقی خوبی بین رویکرد نظری و تجربی در مطالعه خصوصیات نوری ZnSe است.

به‌طورکلی ما از روش GW+BSE برای محاسبه ساختار نواری و خواص برانگیختگی ZnSe استفاده کرده‌ایم. در محاسبات خود، از توابع موج مبتنی بر تقریب LDA به‌عنوان نقطه شروع برای محاسبات GW استفاده کردیم. ما دریافتیم که تقریب GW0 حل خودسازگار خودانرژی در تابع گرین، در حالی که

- in ZnX (X=O, S, Se and Te) monolayer: hybrid functional calculations, *Chemical Reviews Letters* 2 (2019) 76–83. <https://doi.org/10.26434/chemrevlett.2019-0008>
- [15] E.E. Salpeter, H.A. Bethe, A Relativistic Equation for Bound-State Problems, *Physical Review* 84(1951) 1232–1242. <https://doi.org/10.1103/PhysRev.84.1232>
- [16] L. Hedin, New Method for Calculating the One-Particle Green's Function with Application to the Electron-Gas Problem, *Physical Review* 139(1965) A796 <https://doi.org/10.1103/PhysRev.139.A796>
- [17] M.S. Hybertsen, S.G. Louie. Electron correlation in semiconductors and insulators: Band gaps and quasiparticle energies, *Physical Review B: Condensed Matter and Materials Physics* 34 (1986) 5390. <https://doi.org/10.1103/PhysRevB.34.5390>
- [18] G. Onida, L. Reining, A. Rubio. Electronic excitations: density-functional versus many-body Green's-function approaches, *Reviews of Modern Physics* 74 (2002) 601–659. <https://doi.org/10.1103/RevModPhys.74.601>
- [19] R.M. Martin, L. Reining, D.M. Ceperley, *Interacting Electrons Theory and Computational Approaches*, Cambridge University Press 2016. <https://doi.org/10.1017/CBO9781139050807>
- [20] L. Reining. The GW approximation: content, successes and limitations, *Wiley Interdisciplinary Reviews: Computational Molecular Science* 8 (2018) 1344. <https://doi.org/10.1002/wcms.1344>
- [21] D. Golze, M. Dvorak, P. Rinke, *The GW Compendium: A Practical Guide to Theoretical Photoemission Spectroscopy*, *Frontiers in Chemistry* 7 (2019) 377. <https://doi.org/10.3389/fchem.2019.00377>
- [22] A. Gulans, S. Kontur, C. Meisenbichler, D. Nabok, P. Pavone, S. Rigamonti, S. Sagmeister, U. Werner, C. Draxl, exciting — a full-potential all-electron package implementing density-functional theory and semiconductor nanoparticles: A chemical approach of the mechanochemical synthesis. *Materials Science in Semiconductor Processing* 86 (2018) 128–138. <https://doi.org/10.1016/j.mssp.2018.08.041>
- [7] J.E. Bernard, A. Zunger, Electronic structure of ZnS, ZnSe, ZnTe, and their pseudobinary alloys, *Physical Review B Condensed Matter* 36 (1987) 3199–3228. <https://doi.org/10.1103/PhysRevB.36.3199>
- [8] P.J. Wright, B. Cockayne, P.J. Parbrook, K.P. O'Donnell, B. Henderson, Time-resolved photoluminescence studies of ZnSe epitaxial layers grown by molecular beam epitaxy, *Semiconductor Science and Technology* 6 (1991) 29. <https://doi.org/10.1088/0268-1242/6/12A/008>
- [9] A. Bechiri, F. Benmakhlouf, N. Bouarissa, Calculation of electronic and optical properties of Zn-based II–VI semiconductors, *Physics Procedia* 2(3) (2009) 803–812. <https://doi.org/10.1016/j.phpro.2009.07.107>
- [10] Y.F. Sun, Z.H. Sun, S. Gao, H. Cheng, Q.H. Liu, J.Y. Piao, T. Yao, C.Z. Wu, S.L. Hu, S.Q. Wei, Y. Xie, Fabrication of flexible and freestanding zinc chalcogenide single layers, *Nature Communications* 3 (2012) 1057. <https://doi.org/10.1038/ncomms2051>
- [11] J. Sharma, H. Singh, T. Singh, A. Thakur, Structural, optical and photo-electrical properties of nanocrystalline ZnSe thin films, *Journal of Materials Science: Materials in Electronics* 29 (2018) 5688–5695. <https://doi.org/10.1007/s10854-017-8451-y>
- [12] H. Park, H. Chung, W. Kim, Synthesis of ultrathin wurtzite ZnSe nanosheets, *Materials Letters* 99 (2013) 172–175. <https://doi.org/10.1016/j.matlet.2013.03.038>
- [13] L. Li, P. Li, N. Lu, J. Dai, X.C. Zeng, Simulation evidence of hexagonal-to-tetragonal ZnSe structure transition: a monolayer material with a wide-range tunable direct bandgap, *Advanced Science* 2 (2015) 1500290. <https://doi.org/10.1002/advs.201500290>
- [14] J. Jalilian, F. Parandin, J. Jalilian, Tuning of electronic and optical properties

- of II-VI (II=Zn; VI=O, S, Se, Te) semiconductor nanostructures, *Journal of Materials Chemistry* 22 (2012) 21453. <https://doi.org/10.1039/c2jm34823e>
- [27] T.S. Tan, J.J. Kas, J.J. Rehr, Coulomb-hole and screened exchange in the electron self-energy at finite temperature, *Phys. Rev. B* 98 (2018) 115125. <https://doi.org/10.1103/PhysRevB.98.115125>
- [28] M. Rohlfing, S.G. Louie, Electron-hole excitations and optical spectra from first principles, *Physical Review B* 62 (2000) 4927. <https://doi.org/10.1103/PhysRevB.62.4927>
- [29] G.V. Astakhov, D.R. Yakovlev, V.P. Kochereshko, W. Ossau, W. Faschinger, J. Puls, F. Henneberger, S.A. Crooker, Q. McCulloch, D. Wolverson, N.A. Gippius, and A. Waag, Binding energy of charged excitons in ZnSe-based quantum wells, *Physical Review B* 65 (2002) 165335. <https://doi.org/10.1103/PhysRevB.65.165335>
- [23] M.S. Hybertsen, S.G. Louie, First-principles calculation of the band gap in semiconductors and insulators, *Physical Review Letters* 55 (1985) 1418. <https://doi.org/10.1103/PhysRevLett.55.1418>
- [24] R.W. Godby, M. Schlüter, L.J. Sham, Self-energy operators and exchange-correlation potentials in semiconductors, *Physical Review B* 37 (1988) 10159. <https://doi.org/10.1103/PhysRevB.37.10159>
- [25] M. Safari, Z. Izadi, J. Jalilian, I. Ahmad, S.J. Asadabadi, Metal mono-chalcogenides ZnX and CdX (X=S, Se and Te) monolayers: chemical bond and optical interband transitions by first principles calculations, *Physics Letters A* 381 (2017) 663-670. <https://doi.org/10.1016/j.physleta.2016.11.040>
- [26] J.M. Aproz, I. Infante, X. Lopez, J.M. Ugalde, F.D. Angeis. A first-principles study many-body perturbation theory, *Journal of Physics: Condensed Matter* 26 (2014) 363202. <https://doi.org/10.1088/0953-8984/26/36/363202>